



# Power Capacitors

The following products presented in this data sheet are being withdrawn.

| Ordering Code   | Substitute Product | Date of Withdrawal | Deadline Last Orders | Last Shipments |
|-----------------|--------------------|--------------------|----------------------|----------------|
| B25856K7505K003 |                    | 2014-08-14         | 2015-03-31           | 2016-09-30     |
| B25856K7504K013 |                    | 2014-08-14         | 2015-03-31           | 2016-09-30     |
| B25856K7405K003 |                    | 2014-08-14         | 2015-03-31           | 2016-09-30     |

© EPCOS AG 2015. Reproduction, publication and dissemination of this publication, enclosures hereto and the information contained therein without EPCOS' prior express consent is prohibited.

EPCOS AG is a TDK Group Company.



| Ordering Code   | Substitute Product | Date of Withdrawal | Deadline Last Orders | Last Shipments |
|-----------------|--------------------|--------------------|----------------------|----------------|
| B25856K7355K003 |                    | 2014-08-14         | 2015-03-31           | 2016-09-30     |
| B25856K7255K003 |                    | 2014-08-14         | 2015-03-31           | 2016-09-30     |
| B25856K7205K003 |                    | 2014-08-14         | 2015-03-31           | 2016-09-30     |
| B25856K7155K013 |                    | 2014-08-14         | 2015-03-31           | 2016-09-30     |
| B25856K7105K003 |                    | 2014-08-14         | 2015-03-31           | 2016-09-30     |
| B25856K4755K003 |                    | 2014-08-14         | 2015-03-31           | 2016-09-30     |
| B25856K4504K013 |                    | 2014-08-14         | 2015-03-31           | 2016-09-30     |
| B25856K4255K003 |                    | 2014-08-14         | 2015-03-31           | 2016-09-30     |
| B25856K4204K003 |                    | 2014-08-14         | 2015-03-31           | 2016-09-30     |
| B25856K4105K003 |                    | 2014-08-14         | 2015-03-31           | 2016-09-30     |
| B25856K3504K003 |                    | 2014-08-14         | 2015-03-31           | 2016-09-30     |
| B25856K3255K003 |                    | 2014-08-14         | 2015-03-31           | 2016-09-30     |
| B25856K3104K003 |                    | 2014-08-14         | 2015-03-31           | 2016-09-30     |
| B25856K2504K003 |                    | 2014-08-14         | 2015-03-31           | 2016-09-30     |
| B25856K2405K003 |                    | 2014-08-14         | 2015-03-31           | 2016-09-30     |
| B25856K2305K003 |                    | 2014-08-14         | 2015-03-31           | 2016-09-30     |
| B25856K2255K003 |                    | 2014-08-14         | 2015-03-31           | 2016-09-30     |
| B25856K2205K003 |                    | 2014-08-14         | 2015-03-31           | 2016-09-30     |
| B25856K2204K003 |                    | 2014-08-14         | 2015-03-31           | 2016-09-30     |
| B25856K2105K003 |                    | 2014-08-14         | 2015-03-31           | 2016-09-30     |
| B25856K1755K003 |                    | 2014-08-14         | 2015-03-31           | 2016-09-30     |
| B25856K1505K003 |                    | 2014-08-14         | 2015-03-31           | 2016-09-30     |
| B25856K1255K003 |                    | 2014-08-14         | 2015-03-31           | 2016-09-30     |
| B25856K1204K003 |                    | 2014-08-14         | 2015-03-31           | 2016-09-30     |
| B25856K1155K003 |                    | 2014-08-14         | 2015-03-31           | 2016-09-30     |
| B25856K1106K003 |                    | 2014-08-14         | 2015-03-31           | 2016-09-30     |
| B25856K0755K003 |                    | 2014-08-14         | 2015-03-31           | 2016-09-30     |
| B25856K0405K003 |                    | 2014-08-14         | 2015-03-31           | 2016-09-30     |
| B25856K0205K003 |                    | 2014-08-14         | 2015-03-31           | 2016-09-30     |
| B25856K0204K003 |                    | 2014-08-14         | 2015-03-31           | 2016-09-30     |
| B25856K0156K003 |                    | 2014-08-14         | 2015-03-31           | 2016-09-30     |
| B25856K0155K003 |                    | 2014-08-14         | 2015-03-31           | 2016-09-30     |
| B25856K0105K003 |                    | 2014-08-14         | 2015-03-31           | 2016-09-30     |
| B25856J7305J003 |                    | 2014-08-14         | 2015-03-31           | 2016-09-30     |
| B25856J0474K003 |                    | 2014-08-14         | 2015-03-31           | 2016-09-30     |

For further information please contact your nearest EPCOS sales office, which will also support you in selecting a suitable substitute. The addresses of our worldwide sales network are presented at [www.epcos.com/sales](http://www.epcos.com/sales).

### Features

- High dielectric strength
- High peak-current capability
- Extremely low inductance

### Construction

- Self-healing
- Plastic dielectric
- Oil-impregnated tubular windings (no PCB)
- Metal-sprayed end faces ensure reliable contacting
- Fully insulated case
- Axial version



### Terminals

- Internal thread M6 × 8 and M8 × 10
- Axial

### Mounting

- On the terminals

### Individual data sheets

Individual data sheets contain detailed specification incl. thermal data. Upon request, these data sheets are available for each capacitor type.

**Technical data**

|  |                                  |   |
|--|----------------------------------|---|
| Standards                                |                                  | IEC 1071-1/2<br>EN 61071-1/2<br>VDE 0560 part 120 and 121   |
| Dielectric dissipation factor            | $\tan \delta_0$                  | $2 \times 10^{-4}$  |
| Capacitance tolerance                    |                                  | $\pm 10\%$  |
| Max. repetitive rate of voltage rise     | $(dv/dt)_{\max}$                 | $\frac{\hat{I}}{C}$   |
| Max. non-repetitive rate of voltage rise | $(dv/dt)_s$                      | $\frac{I_s}{C}$   |
| Climatic data:                           |                                  |   |
| Min. operating temperature               | $T_{\min}$                       | $-25\text{ }^\circ\text{C}$   |
| Max. operating temperature               | $T_{\max}$                       | $+85\text{ }^\circ\text{C}$   |
| Average relative humidity                |                                  | $\leq 95\%$   |
| Failure quota                            | $\alpha_{\text{FQ}(\text{co})}$  | 300 failures per $10^9$ component hours   |
| Load duration                            | $t_{\text{LD}(\text{co})}$       | 100 000 h   |
| Storage temperature limit                | $T_{\text{stg}}$                 | $\leq 98\text{ mm diameter: } -55/+85\text{ }^\circ\text{C}$<br>$\geq 103\text{ mm diameter: } -30/+85\text{ }^\circ\text{C}$ |
| IEC climatic category (IEC 68-1 and 2)   |                                  | 25/085/56   |
| Test A, cold                             |                                  | $-25\text{ }^\circ\text{C}$   |
| Test B, dry heat                         |                                  | $+85\text{ }^\circ\text{C}$   |
| Test Ca, damp heat, steady state         |                                  | 56 days/ $40\text{ }^\circ\text{C}/93\%$ rel. humidity  |
| Values after test Ca:                    |                                  |   |
| Capacitance change                       | $\Delta C/C$                     | $\leq 1\%$  |
| Insulation resistance                    | $R_{\text{ins}}$                 | $C_R \leq 1\text{ }\mu\text{F: } \geq 10000\text{ M}\Omega$   |
| Self-discharge time constant $\tau =$    | $R_{\text{ins}} \times C$        | $C_R > 1\text{ }\mu\text{F: } \geq 10000\text{ s}$  |
| Dissipation factor change                | $\Delta \tan \delta$             | $\leq 1 \times 10^{-4}$   |
| Test data:                               |                                  |   |
| Voltage test between terminals           |                                  |   |
| DC test voltage                          | $V_{\text{TT}}$                  | $1.5 \times V_R, 10\text{ s}$ ( $V_R = \text{DC}$ )<br>$1.75 \times V_R, 10\text{ s}$ ( $V_R = \text{AC}$ )                   |
| AC test voltage (rms value)              | $V_{\text{TT}}$                  | $1.25 \times V_R, 50\text{ Hz}, 10\text{ s}$ ( $V_R = \text{AC}$ )  |
| Insulation resistance                    | $R_{\text{ins}}$                 | $C_R \leq 1\text{ }\mu\text{F: } \geq 10000\text{ M}\Omega$   |
| Self-discharge time constant             | $\tau = R_{\text{ins}} \times C$ | $C_R > 1\text{ }\mu\text{F: } \geq 10000\text{ s}$  |
| Dissipation factor (50 Hz)               | $\tan \delta$                    | $\leq 3 \times 10^{-4}$   |

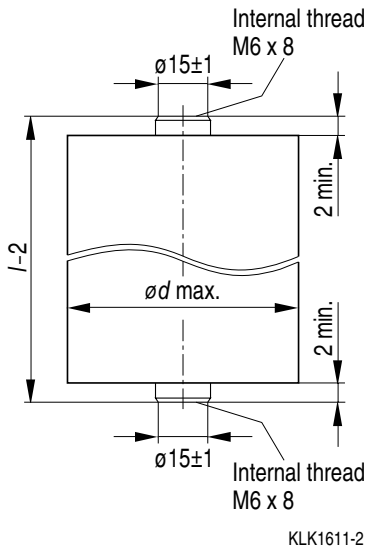


**Characteristics and ordering codes**

| $C_R^{1)}$  | $I_{\max}$ | $\hat{i}$ | $I_s$ | $R_S$<br>20 °C | $L_{\text{self}}$ | Dimensions<br>$d \times l$ | Fig. | Appr.<br>weight | Ordering code   |
|---|------------|-----------|-------|----------------|-------------------|----------------------------|------|-----------------|-----------------|
| $\mu\text{F}$   | A          | A         | A     | m $\Omega$     | nH                | mm                         |      | g               |                 |
| $V_{\text{RDC}} = \text{AC } 3000 \text{ V}$ $\hat{v} = 3600 \text{ V}$ $V_{\text{TT}} = \text{AC } 3200 \text{ V, } 10 \text{ s}$<br>$V_{\text{R}} = \text{AC } 2500 \text{ V}$ $v_s = 5200 \text{ V}$ |            |           |       |                |                   |                            |      |                 |                 |
| 0.5   | 70         | 2200      | 5500  | 1.9            | <20               | 68 × 79                    | 2    | 550             | B25856K7504K013 |
| 1   | 80         | 3000      | 7500  | 1.1            | <20               | 83 × 79                    | 2    | 700             | B25856K7105K003 |
| 1.5   | 80         | 4800      | 12000 | 0.7            | <20               | 93 × 79                    | 2    | 800             | B25856K7155K013 |
| 2   | 80         | 3600      | 9000  | 1.3            | <20               | 88 × 100                   | 2    | 900             | B25856K7205K003 |
| 2.5   | 80         | 4500      | 11000 | 1.0            | <20               | 98 × 100                   | 2    | 1100            | B25856K7255K003 |
| 3   | 80         | 3600      | 9000  | 1.9            | <10               | 88 × 142                   | 2    | 1100            | B25856J7305J003 |
| 3.5   | 80         | 4200      | 10500 | 1.7            | <20               | 93 × 142                   | 2    | 1400            | B25856K7355K003 |
| 4   | 80         | 4800      | 12000 | 1.5            | <20               | 98 × 142                   | 2    | 1500            | B25856K7405K003 |
| 5   | 80         | 6000      | 15000 | 1.2            | <20               | 108 × 142                  | 2    | 1800            | B25856K7505K003 |
| $V_{\text{RDC}} = \text{AC } 3300 \text{ V}$ $\hat{v} = 4000 \text{ V}$ $V_{\text{TT}} = \text{AC } 3500 \text{ V, } 10 \text{ s}$<br>$V_{\text{R}} = \text{AC } 2800 \text{ V}$ $v_s = 5800 \text{ V}$ |            |           |       |                |                   |                            |      |                 |                 |
| 0.1   | 20         | 350       | 900   | 8.0            | <20               | 40 × 70                    | 1    | 160             | B25856K3104K003 |
| 0.5   | 70         | 1800      | 4500  | 1.7            | <20               | 73 × 79                    | 2    | 600             | B25856K3504K003 |
| 2.5   | 80         | 3500      | 8800  | 2.0            | <20               | 88 × 142                   | 2    | 1300            | B25856K3255K003 |
| $V_{\text{RDC}} = \text{AC } 4000 \text{ V}$ $\hat{v} = 4800 \text{ V}$ $V_{\text{TT}} = \text{AC } 4300 \text{ V, } 10 \text{ s}$<br>$V_{\text{R}} = \text{AC } 3400 \text{ V}$ $v_s = 7000 \text{ V}$ |            |           |       |                |                   |                            |      |                 |                 |
| 0.2   | 50         | 1200      | 3000  | 2.6            | <20               | 53 × 70                    | 1    | 250             | B25856K2204K003 |
| 0.5   | 80         | 3000      | 7500  | 1.1            | <20               | 83 × 79                    | 2    | 700             | B25856K2504K003 |
| 1   | 80         | 3500      | 8800  | 1.3            | <20               | 88 × 105                   | 2    | 1000            | B25856K2105K003 |
| 2   | 80         | 5000      | 12500 | 1.3            | <20               | 98 × 126                   | 2    | 1350            | B25856K2205K003 |
| 2.5   | 80         | 3800      | 9400  | 2.3            | <20               | 88 × 168                   | 2    | 1500            | B25856K2255K003 |
| 3   | 80         | 4500      | 11000 | 2.0            | <20               | 98 × 168                   | 2    | 1700            | B25856K2305K003 |
| 4   | 80         | 6000      | 15000 | 1.5            | <20               | 108 × 168                  | 2    | 2100            | B25856K2405K003 |

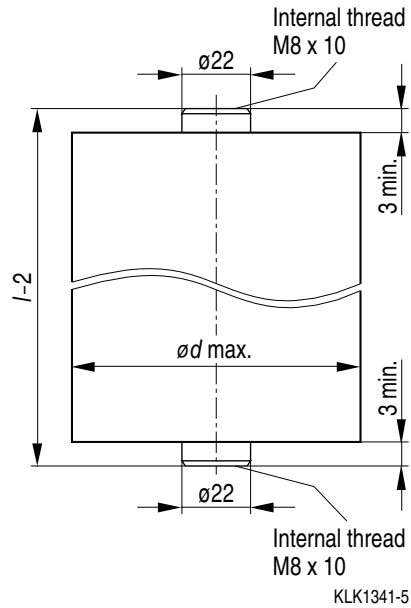
1) Other capacitance values upon request

Dimensional drawing 1



$\varnothing d_{max} = 40 \dots 68 \text{ mm}$ :  
 Internal thread = M6 x 8  
 Max. torque = 7 Nm

Dimensional drawing 2



$\varnothing d_{max} = 68 \dots 108 \text{ mm}$ :  
 Internal thread = M8 x 10  
 Max. torque = 7 Nm

# Mouser Electronics

Authorized Distributor

Click to View Pricing, Inventory, Delivery & Lifecycle Information:

## EPCOS:

[B25856K0204K003](#) [B25856J0474K003](#) [B25856K0105K003](#) [B25856K0155K003](#) [B25856K0405K003](#)  
[B25856K0755K003](#) [B25856K0156K003](#) [B25856K4504K013](#) [B25856K1204K003](#) [B25856K1155K003](#)  
[B25856K7504K013](#) [B25856K7155K013](#) [B25856K7205K003](#) [B25856J7305J003](#) [B25856K7405K003](#)  
[B25856K7505K003](#) [B25856K3255K003](#) [B25856K2204K003](#) [B25856K2504K003](#) [B25856K2105K003](#)  
[B25856K2205K003](#) [B25856K2405K003](#) [B25856J7355J013](#) [B25856J7305J013](#) [B25856J7405K003](#)  
[B25856J0684K013](#) [B25856K4404J013](#) [B25856J0105K013](#) [B25856J7205K003](#) [B25856J8105K003](#)  
[B25856J7505J003](#) [B25856K2104K003](#) [B25856J6105K013](#) [B25856K0305K033](#) [B25856J7355J003](#)  
[B25856J7305K003](#) [B25856J7105K003](#) [B25856K7105K3](#) [B25856K0155K013](#) [B25856J7104M003](#) [B25856J0334A003](#)



Компания «Океан Электроники» предлагает заключение долгосрочных отношений при поставках импортных электронных компонентов на взаимовыгодных условиях!

Наши преимущества:

- Поставка оригинальных импортных электронных компонентов напрямую с производств Америки, Европы и Азии, а так же с крупнейших складов мира;
- Широкая линейка поставок активных и пассивных импортных электронных компонентов (более 30 млн. наименований);
- Поставка сложных, дефицитных, либо снятых с производства позиций;
- Оперативные сроки поставки под заказ (от 5 рабочих дней);
- Экспресс доставка в любую точку России;
- Помощь Конструкторского Отдела и консультации квалифицированных инженеров;
- Техническая поддержка проекта, помощь в подборе аналогов, поставка прототипов;
- Поставка электронных компонентов под контролем ВП;
- Система менеджмента качества сертифицирована по Международному стандарту ISO 9001;
- При необходимости вся продукция военного и аэрокосмического назначения проходит испытания и сертификацию в лаборатории (по согласованию с заказчиком);
- Поставка специализированных компонентов военного и аэрокосмического уровня качества (Xilinx, Altera, Analog Devices, Intersil, Interpoint, Microsemi, Actel, Aeroflex, Peregrine, VPT, Syfer, Eurofarad, Texas Instruments, MS Kennedy, Miteq, Cobham, E2V, MA-COM, Hittite, Mini-Circuits, General Dynamics и др.);

Компания «Океан Электроники» является официальным дистрибьютором и эксклюзивным представителем в России одного из крупнейших производителей разъемов военного и аэрокосмического назначения «JONHON», а так же официальным дистрибьютором и эксклюзивным представителем в России производителя высокотехнологичных и надежных решений для передачи СВЧ сигналов «FORSTAR».



## JONHON

«JONHON» (основан в 1970 г.)

Разъемы специального, военного и аэрокосмического назначения:

(Применяются в военной, авиационной, аэрокосмической, морской, железнодорожной, горно- и нефтедобывающей отраслях промышленности)

«FORSTAR» (основан в 1998 г.)

ВЧ соединители, коаксиальные кабели, кабельные сборки и микроволновые компоненты:

(Применяются в телекоммуникациях гражданского и специального назначения, в средствах связи, РЛС, а так же военной, авиационной и аэрокосмической отраслях промышленности).



Телефон: 8 (812) 309-75-97 (многоканальный)

Факс: 8 (812) 320-03-32

Электронная почта: [ocean@oceanchips.ru](mailto:ocean@oceanchips.ru)

Web: <http://oceanchips.ru/>

Адрес: 198099, г. Санкт-Петербург, ул. Калинина, д. 2, корп. 4, лит. А